



บทวิทยาการ
Original Article

ความแข็งแรงดัดขวางสองแกนของ วัสดุอลเซรามิกสองชนิดที่ความหนาของ โครงสร้างชั้นต่าง ๆ กัน

ประศิชา ธรรมวนิช ทบ.¹

ปราមพ์ ชาลิมี ทบ., Ph.D.²

แม่นสรวง อักษรนุกิจ ทบ., MSc., Ph.D.²

¹นิสิตปริญญาโท

²ภาควิชาทันตกรรมประดิษฐ์ คณะทันตแพทยศาสตร์ จุฬาลงกรณ์มหาวิทยาลัย

บทคัดย่อ

วัตถุประสงค์ เพื่อทดสอบความแข็งแรงดัดขวางสองแกนของวัสดุอินซีเรมและวัสดุไอพีโอสเมเนเฟรส 2 ที่มีอัตราส่วนความหนาของชั้นคอร์ต่อวีเนียร์แตกต่างกัน โดยวิธีทดสอบหาความแข็งแรงดัดขวางสองแกน

วัสดุและวิธีการ ทำการขึ้นรูปชิ้นทดสอบเซรามิกอินซีเรมและไอพีโอสเมเนเฟรส 2 เป็นแผ่นกลมขนาดเส้นผ่านศูนย์กลาง 15 มิลลิเมตร หนา 1.2 มิลลิเมตร ตามคำแนะนำนำของบริษัทผู้ผลิตชนิดละ 50 ชิ้น แต่ละชิ้นนิดแบ่งออกเป็น 5 กลุ่ม กลุ่มละ 10 ชิ้น ตามอัตราความหนาของชั้นคอร์ต่อวีเนียร์ 1:0 2:1 1:1 1:2 และ 0:1 ตามลำดับ นำชิ้นตัวอย่างทั้งหมดมาทดสอบหาความแข็งแรงดัดขวางสองแกนตามมาตรฐาน ISO 6872 ปี ค.ศ. 1995 โดยใช้เครื่องทดสอบหากลัดด้วยความเร็วหักด 1 มิลลิเมตร/นาที

ผลการศึกษา ค่าเฉลี่ยและค่าเบี่ยงเบนมาตรฐานของอินซีเรมตามอัตราส่วนคอร์ต่อวีเนียร์จากมากไปน้อยของอินซีเรม กลุ่มที่ 1 – 5 มีค่า 433.1 ± 68.4 , 338.9 ± 22.6 , 294.4 ± 15.2 , 259.9 ± 14.5 และ 56.6 ± 10.5 เมกะปาสกาล ตามลำดับ สำหรับกลุ่มของวัสดุไอพีโอสเมเนเฟรส 2 กลุ่มที่ 6-10 มีค่า 288.3 ± 44.6 , 246.3 ± 28.2 , 266.73 ± 23.22 , 226.6 ± 26.4 และ 68.6 ± 5.5 เมกะปาสกาล ตามลำดับ จากการวิเคราะห์ข้อมูลทางสถิติโดยใช้การวิเคราะห์ความแปรปรวนและการทดสอบแบบแทนเขน พบร่วมกันทั้งชิ้นมีค่าความแข็งแรงดัดขวางสองแกนสูงกว่าแบบที่เคลือบวีเนียร์ โดยเมื่อความหนาของชั้นคอร์ลดลง ค่าความแข็งแรงดัดขวางสองแกนจะลดลงตามลำดับอย่างมีนัยสำคัญ ($p < .05$) ส่วนไอพีโอสเมเนเฟรส 2 ทั้งชิ้นมีค่าความแข็งแรงดัดขวางสองแกนแตกต่างจากไอพีโอสเมเนเฟรส 2 ที่เคลือบวีเนียร์อย่างไม่มีนัยสำคัญ โดยแม้ว่าความหนาของชั้นคอร์ลดลงโดยที่ยังคงมีส่วนของวัสดุอื่นอยู่ ค่าความแข็งแรงดัดขวางสองแกนจะไม่มีความแตกต่างอย่างมีนัยสำคัญ ($p > .05$)

สรุป อัตราส่วนคอร์ต่อวีเนียร์มีผลต่อค่าความแข็งแรงดัดขวางสองแกนของอินซีเรม แต่ไม่มีผลต่อไอพีโอสเมเนเฟรส 2

(ว.ทันต.จุฬาฯ 2550;30:141-56)

คำสำคัญ: ความแข็งแรงดัดขวางสองแกน; คอร์ต่อวีเนียร์พอร์ซิเลน; อลเซรามิก; อินซีเรม; ไอพีโอสเมเนเฟรส 2

บทนำ

วัสดุอลเซรามิก (all-ceramic material) ได้รับความนิยมมากขึ้นและสามารถนำมาใช้ในทางคลินิกโดยมีผลประสบความสำเร็จที่ดีในระดับหนึ่ง โดยเฉพาะอย่างยิ่งในพันที่ต้องการความสวยงาม เช่น พันหน้า เนื่องจากมีคุณสมบัติทางแสง เช่น การดูดซับ การกระจาย และการส่องผ่านของแสงใกล้เคียงกับฟันธรรมชาติมากกว่าการใช้เซรามิกร่วมกับโลหะ¹ นอกจากนั้นยังมีคุณสมบัติการเข้ากันได้กับเนื้อเยื่อที่ดี (biocompatibility) และยังช่วยจัดปัญหาเกี่ยวกับการแพ้โลหะในผู้ป่วยบางราย^{2,3} ปัจจุบันวัสดุอลเซรามิกชนิดใหม่ได้รับการพัฒนาขึ้นมาโดยมีผลความสำเร็จทางคลินิกที่สูงขึ้น ด้วยเหตุผลใหญ่ ๆ 3 ประการคือ ตัววัสดุที่ได้รับการพัฒนาให้มีความแข็งแรงขึ้น มีวิธีการขึ้นรูปที่ดีขึ้น และการพัฒนาทางด้านการยึดติดโดยสามารถใช้กรดกัด (acid etch) บนผิวเซรามิกและเคลือบพันหรือเนื้อพัน และยึดเข้ากันได้ด้วยการยึดเนื้อพันชนิดใหม่ ๆ

วัสดุอลเซรามิกที่ใช้ในทางทันตกรรมมีหลายชนิด ซึ่งแตกต่างกันตามชนิดโครงสร้างทางเคมีของวัสดุ ขบวนการขึ้นรูป ฯลฯ และได้มีการพัฒนาขึ้นจากหลักการทั่วไป ด้วยเทคนิคต่าง ๆ กัน Rosenblum และ Schulman⁴ ได้ทำการจำแนกชนิดตามวิธีการขึ้นรูปของอลเซรามิกไว้ 5 ชนิด คือ เซรามิกชนิดสัมภานิยม (conventional powder slurry ceramic) เป็นการเติมน้ำลงในผงเซรามิกเพื่อขึ้นรูปเป็นชั้นของเนื้อพันและเคลือบพันบนแบบหล่อ ส่วนผงจะมีหลาຍสีและหล่ายระดับความโปร่งแสง ตัวอย่างได้แก่ ดิวซีแรม แอลเอฟซี (Duceram LFC) เซรามิกชนิดเทรียง (castable ceramic systems) สามารถขึ้นรูปโดยใช้วิธีแทนที่ขี้ผึ้ง (lost wax) ในเครื่องเทรียงหนีศูนย์กลาง ตัวอย่างได้แก่ ไดโคอร์ (Dicor) เซรามิกชนิดแทรกซึม (Infiltrated ceramic) เป็นอะลูมิնัลพอร์ซิเลนที่เพิ่มปริมาณของอะลูมินาในส่วนแกนให้สูงขึ้นและแทรกซึมด้วยวัสดุภาคแก้ว (glass matrix phase) เพื่อเพิ่มความแข็งแรงของครอบพัน ตัวอย่างได้แก่ อินซีแรม (In-Ceram) เซรามิกชนิดขึ้นรูปด้วยการกดอัด (pressable ceramic) เป็นเซรามิกที่ผ่านกระบวนการแทนที่ขี้ผึ้งโดยเผาและอัดภายใต้ความร้อน (heat-pressing) ตัวอย่างได้แก่ ไอพีเอสเอมเพรส (IPS Empress) และไอพีเอสเอมเพรส 2 (IPS Empress 2) เซรามิกชนิดใช้เครื่องมือกลึงดัด

(ceramic machining systems) เป็นการใช้ระบบ CAD-CAM ตัวอย่างได้แก่ ซีเรค (CEREC) โพรเชรา (Procera) ซึ่งรวมถึงเซรามิกชนิดเซอร์โคเนียม เช่น เซอร์คอน (Cercon) เป็นต้น

ปัจจุบันวัสดุอลเซรามิกที่ใช้ในประเทศไทยและสามารถขึ้นรูปได้เองในห้องปฏิบัติการ ได้แก่ อินซีแรม และ ไอพีเอส เอมเพรส 2 ซึ่งวัสดุเหล่านี้มีความแข็งแรงเพียงพอที่จะทำครอบพันหรือขึ้นบูรณะในชีวิตทุกตำแหน่งในปาก หรือสะพานพันสามชิ้น ในตำแหน่งพันหน้าที่ไม่รับแรงบดเคี้ยวมาก

อินซีแรม (Vita Zahnfabrik, Bad Sackingen, Germany) ถูกพัฒนาขึ้นในปี 1982 โดย Michael Sadaun ในประเทศฝรั่งเศส เซรามิกชนิดนี้มีชื่อในภาษาอังกฤษที่แตกต่างกันออกไป เช่น infiltration ceramic หรือ glass infused ceramic หรือ glass infiltrated alumina ceramic นอกจากนี้ยังอาจเรียกตามเทคนิคการขึ้นรูปว่า slip casting alumina ceramic อินซีแรมประกอบด้วยวัสดุภาค 2 ชนิดแทรกประสานกัน (interpenetrating phase material) โดยมีวัสดุภาคผลึกอะลูมินาล้อมารอบและแทรกซึมด้วยวัสดุภาคแก้วบริเวณครุพุนทำให้เพิ่มความแข็งแรงขึ้น อินซีแรมที่เผาแล้วมีปริมาณผลึกอะลูมิโนร้อยละ 74 โดยปริมาตร หรือร้อยละ 80-85 โดยน้ำหนัก โดยมีขนาดของผลึกตั้งแต่ 0.5-5 ไมครอน และแมทริกซ์แก้วและทานัม (lanthanum aluminosilicate) ร้อยละ 26⁵

การขึ้นรูปอินซีแรมส่วนแกนหรือคอร์ (core) ทำโดยนำผงอะลูมินาละลายในน้ำปราศจากอิโอน (deionized water) และใส่สารทำให้กระจายตัว (dispersing agent) คือโพลีไวนิลแอกโกลออล⁶ ทางบนแบบบิปชั่ม ส่วนน้ำจะถูกดูดเข้าสู่แม่แบบจึงเหลือเฉพาะอะลูมินาอัดแน่นอยู่⁷ จากนั้นนำไปเผาที่อุณหภูมิ 1120 องศาเซลเซียส เป็นเวลา 10 ชั่วโมง ระหว่างนี้อะลูมินาจะหลอมเข้าด้วยกันและเกิดการหดตัวร้อยละ 0.3 ซึ่งให้ความถึ่งร้าวและต้านทานต่อการบิดเบี้ยวในระหว่างการเผาไวเนียร์พอร์ซิเลนในกระบวนการต่อไปได้จากนั้นผสมส่วนแก้วและทานัมกับน้ำทางบนส่วนแกนนำไปเผาที่อุณหภูมิ 1120 องศาเซลเซียส เป็นเวลา 3-5 ชั่วโมง ส่วนแก้วจะหลอมตัวและแทรกซึมเข้าไปในช่องว่างระหว่างอะลูมินาโดยกระบวนการแคปิลารีซึ่งช่วยให้เกิดความโปร่งแสงจากนั้นกำจัดแก้วส่วนเกินด้วยหัวกรองจากเพชรหรือผงอะลูมิเนียมออกไซด์ ขั้นตอนสุดท้ายคือการตกแต่งรูปร่างของ

ชิ้นงานด้วยวีเนียร์พอร์ซเลนชนิดอะลูมินัลพอร์ซเลน⁶⁻⁸ อินซีเรมสามารถใช้ในงานครอบฟันหน้าและฟันหลังรวมทั้ง สะพานฟันหน้า ซึ่งมีรายงานค่ากำลังดัดขวางสูงประมาณ 384 เมกะปاسกอล⁹ มีค่าแรงดึงที่สูงกว่าเฟล์สปาติกพอร์ซเลน 3-4 เท่า¹⁰⁻¹² มีค่าสัมประสิทธิ์การขยายตัวเมื่อร้อน $7.2 \times 10^{-6} \text{ K}^{-1}$ นอกจากนี้มีอัตราอยู่รอดทางคลินิกร้อยละ 98.4 จากการใช้งานในช่วง 24-44 เดือน¹³ อย่างไรก็ตาม อินซีเรม มีข้อด้อยที่สำคัญคือ ส่วนแกนมีความทึบแสงจากอะลูมินา ทำให้ครอบฟันแลดูไม่เป็นธรรมชาติ จึงได้มีการพัฒนาส่วน แกนให้มีความโปร่งแสงขึ้น โดยใช้แมกนีเซียมอะลูมิเนต (MgAl_2O_4) เรียกว่า อินซีเรมสปินেล (In-Ceram Spinell) แต่มีค่ากำลังดัดขวางนั้นไม่สูงเท่ากับอินซีเรม โดยมีค่า ประมาณ 259 เมกะปัสกอล⁹ ต่อมาก็มีการพัฒนาอินซีเรม เซอร์โคเนีย (In-Ceram Zirconia) ซึ่งใช้เซอร์โคเนียมออกไซด์ (ZrO_2) เป็นส่วนแกนภายใน พบร่วมค่ากำลังดัดขวางสูงถึง 800 เมกะปัสกอล แต่ก็มีความโปร่งแสงน้อยกว่าส่องชนิดที่ ผ่านมาโดยอินซีเรมเซอร์โคเนียนนี้ใช้ในงานสะพานฟันใน ฟันหลัง⁶

วิตาดัร์อัลฟ่า (vitadur alpha) เป็นวีเนียร์พอร์ซเลน ของอินซีเรมที่ใช้ในการตกแต่งรูปร่างของชิ้นงานในชิ้น เนื้อฟันและชั้นเคลือบฟัน ส่วนประกอบของวิตาดัร์อัลฟ่าจะ มีอะลูมินัลออกไซด์ร้อยละ 10 มีความแข็งแรงดัดขวาง 110 เมกะปัสกอล มีลักษณะเป็นอนุภาคละเอียด มีการดูดแสง ความโปร่งแสงและการสะท้อนแสงคล้ายฟันธรรมชาติ ทนต่อ การทดสอบของคราบจุลินทรีย์ทนต่อกรด มีการทดสอบน้อย ขณะเดียว มีสัมประสิทธิ์การขยายตัวเมื่อร้อน $6.2-6.7 \times 10^{-6} \text{ K}^{-1}$ ค่าความแข็งผิววิกเกอร์ 470 HV₁₀ ความหนาแน่น 2.3 กรัม ต่อลูกบาศก์เซนติเมตร⁶

ไอพีเอสเอมเพรส 2 (Ivoclar, Schaan, Liechtenstein) ระบบไอพีเอสเอมเพรส ถูกพัฒนาขึ้นในปี 1988 โดย Wohlwend และ Scharer แห่งมหาวิทยาลัยซูริก ประเทศ สวิตเซอร์แลนด์ ร่วมกับบริษัท Ivoclar ประเทศลิทเทนสไตน์¹⁴ โดยมีส่วนประกอบพื้นฐานของเฟล์สปาติกพอร์ซเลนที่มี พลีกูลไชท์เป็นองค์ประกอบ พลีกูลนี้สามารถเพิ่มความแข็งแรง ด้วยกลไกที่เกิดจากความแตกต่างของค่าสัมประสิทธิ์การ ขยายตัวเมื่อร้อนระหว่างลูไชท์กับแก้วแมทริกซ์ โดยลูไชท์มีค่า น้ำหนักกว่าแก้วแมทริกซ์ ทำให้เกิดความเคร้นอัตราของพลีกูลซึ่งช่วย

ต้านต่อการรwanของรอยร้าว¹⁵ นอกจากนี้กระบวนการอัดด้วย ความร้อนจะทำให้พลีกูลไชท์เรียงตัวและการกระจาย ตัวอย่างสม่ำเสมอในแก้วแมทริกซ์ซึ่งมีผลช่วยต้านการแตก ได้^{11,14,16} ใน การขันรูปสุดบูรณะฟันโดยใช้ระบบของไอพีเอม- เพรสมี 2 แบบ ได้แก่ เทคนิคระบายสี (staining technique) คือหลุจากได้ชิ้นงานที่ผ่านกระบวนการอัดแล้วนำชิ้นงานมา ลงสีบนพื้นผิวตามต้องการ เทคนิคนี้ใช้ในงานอินเลร์ ออนไลร์ และวีเนียร์ อีกวิธีหนึ่งคือเทคนิคทำเป็นชั้น (layering technique) จะใช้ในงานที่ต้องการความสวยงาม เช่น ครอบ ฟันหน้า ซึ่งเมื่อได้ชิ้นงานที่เป็นส่วนแกนแล้ว จะนำมาขันรูป เพิ่มเติมด้วยเฟล์สปาติกพอร์ซเลนเป็นชั้นเนื้อฟันและ เคลือบฟันให้เหมือนฟันธรรมชาติเพื่อให้มีความใสและสีตาม ต้องการ ไอพีเอสเอมเพรสมีค่าความแข็งแรงดัดขวาง 120-200 เมกะปัสกอล ซึ่งมีความแข็งแรงไม่แพ้ยังพอที่จะสามารถใช้ทำ สะพานฟันได้

ในปี ค.ศ. 1999 Schweiger Holand และ Frank¹⁷ ได้พัฒนาวัสดุไอพีเอสเอมเพรส 2 ซึ่งใช้วิธีเผาแทนที่ขึ้นผงและ กระบวนการอัดภายในตัวช่วยให้ความร้อนเช่นเดียวกัน แต่ใช้พลี กูลเทียมไดซิลิกेट (lithium disilicate) ซึ่งมีความแข็งแรงกว่า โดยโครงสร้างประกอบด้วยของพลีกูลมากกว่าร้อยละ 60 ขบวนการเผาและอัดภายในตัวช่วยให้ความร้อน พลีกูลเทียมไดซิลิกेट รูปเข็มจะแพร่กระจายในโครงสร้างที่ประสานกันทำให้สามารถ ป้องกันการลอก lam ของรอยแตกได้ด้วยขบวนการหักเหของ รอยแตก (crack deflection) และการแตกแขนงของรอยแตก (branching) ไอพีเอสเอมเพรส 2 มีค่าความแข็งแรงดัด ขวางสองแกนประมาณ 350 เมกะปัสกอล ซึ่งสูงกว่าไอพี เอสเอมเพรสประมาณ 3 เท่า มีสัมประสิทธิ์การขยายตัวเมื่อ ร้อนต่ำกว่าไอพีเอสเอมเพรส เนื่องจากพลีกูลเทียมไดซิลิกेटมี ลักษณะลักษณะที่ต้านทานต่ำกว่าพลีกูลไชท์

ไอพีเอสเอมเพรส 2 มีอัตราการสึกစึกต่ำกว่าฟัน ธรรมชาติ การต้านทานต่อความชื้น การกัดกร่อน และทนต่อ สารเคมีได้ดีกว่า สามารถยึดกับฟันธรรมชาติได้ดี โดยการกัด พื้นผิวจึงด้วยกรดไอโตรฟลูออริก และทาสารไซเลนปรับ สภาพผิว ซึ่งทำให้เกิดกำลังยึด (bond strength) ด้วยเรซิน ซีเมนต์มากกว่าการยึดกับเซรามิกชนิดเซอร์โคเนียมหรือ อะลูมินา¹⁸ เนื่องจากปัญหาของวีเนียร์ พอร์ซเลนชนิดดังเดิม เกิดการแตกง่าย เพราะช่วงอุณหภูมิการเผาแคบ บริษัทผู้ผลิต

จึงได้ทำการผลิตวีเนียร์พอร์ชเลนชนิดใหม่คือไอพีเอสอีริส (IPS Eris) ซึ่งมีช่วงอุณหภูมิในการเผาไว้ตั้งแต่ 700°C ทำให้กระบวนการหลอมมีความผิดพลาดน้อยกว่าเดิม วีเนียร์-พอร์ชเลนที่ได้รับการพัฒนาขึ้นมาใหม่เป็นชนิดฟลูออโร-อะพาไทต์ ซึ่งมีลักษณะคล้ายกับในฟันธรรมชาติและทำให้คุณสมบัติการกระจายแสงใกล้เคียงกัน

ไอพีเอสเอมเพรส 2 สามารถใช้ทำการครอบฟันซึ่งเดียวทุกตำแหน่งและสะพานฟันสามซีน์ดำเนินการแบบฟันหน้าจนถึงฟันกรามน้อยที่ส่องได้ ด้วยความแข็งแรงที่จำกัด การทำการครอบฟันสามซีจะต้องมีส่วนเชื่อมโยง (connector) ขนาด 4×4 มิลลิเมตร จึงไม่สามารถใช้ในสะพานฟันที่มีฟันหลักเดียวซึ่งไม่มีความสูงพอที่จะทำส่วนเชื่อมโยงให้แข็งแรงได้ หรือเมื่อคราวใช้ในการใส่ฟันที่มีช่วงระหว่างฟันกว้าง คือมากกว่า 11 มิลลิเมตร ในฟันหน้า และมากกว่า 9 มิลลิเมตรในฟันเขี้ยว และมีข้อห้ามใช้ในผู้ป่วยที่มีการทำงานนอกหน้าที่ (parafunction) เช่น นอนกัดฟัน ขบเน้นฟัน ฟันหลักเปลี่ยนสีมาก นอกจากนี้ฟันที่บิดเอียงตำแหน่งมาก ๆ ฟันปลอมติดแน่นชนิดยึดข้างเดียว (cantilever) และฟันโยกมาก ๆ ก็เป็นข้อห้ามด้วย

Wagner และ Chu¹⁹ ได้ทำการเปรียบเทียบความแข็งแรงตัดขวางของวัสดุไอพีเอสเอมเพรส อินซีแรม และโพเรเชราออลซีแรม (Procera allceram) พบร่วมกับวีเนียร์พอร์ชเลนสามชนิด คือ โพเรเชราออลซีแรม วิตาดัร์อีน (Vitadur N) และวิตาดัร์อัลฟ่าที่ความหนาต่าง ๆ กัน พบร่วมกับความล้มเหลวของโพเรเชราสูงกว่า อินซีแรมอย่างมีนัยสำคัญ ในขณะที่ วีเนียร์พอร์ชเลนทั้งสามชนิดไม่แตกต่างกัน Ohyama Yoshinari และ Oda²³ ทดสอบความแข็งแรงตัดขวางของ อินซีแรมและไอพีเอสเอมเพรสโดยทำชิ้นตัวอย่างเป็นแบบต่าง ๆ พบร่วมกับวีเนียร์พอร์ชเลนที่มีความแข็งแรงตัดขวางสูงสุด อินซีแรมที่เป็นชิ้นเดียวจะมีความแข็งแรงตัดขวางสูงกว่าแบบสองชิ้น แต่ไอพีเอสเอมเพรสทั้งชิ้นมีค่าความแข็งแรงตัดขวางใกล้เคียงกับของไอพีเอสเอมเพรสที่รวมกับพอร์ชเลน Thompson²⁴ ได้ทำการศึกษาอิทธิพลของความสัมพันธ์ความหนาของชิ้นพอร์ชเลนต่อจุดเริ่มต้นการแตก (failure origin) และชนิดของการแตก (failure mode) โดยทำชิ้นทดสอบ เป็นแผ่นสองชิ้นจากอินซีแรมและวิตาดัร์อัลฟ่า ด้วยความหนาที่แตกต่างกันเป็น 1:2:1:1 และ 2:1 เมื่อทำการวัดความแข็งแรงตัดขวางของทั้งสามแบบพบว่าไม่มีความแตกต่างระหว่างการเริ่มแตกที่ผิวและการเริ่มแตกระหว่างชิ้นบริเวณรอยต่อ (interface) โดยการเริ่มแตกที่ผิวจะพบมากในความหนา 1:2:1:1 และ 2:1 ตามลำดับ และการเริ่มแตก ระหว่างชิ้นจะพบมากในอัตราส่วน 2:1:1:1 และ 1:2 ตามลำดับ สำหรับชนิดของการแตก พบร่วมกันข้าม

คือ มีการแตกแยกชิ้นมากที่สุดในอัตราส่วน ๑:๒ รองลงมาคือ

๒:๑ และ ๑:๑ ตามลำดับ

แม้จะมีผู้ทำการศึกษาเกี่ยวกับความสัมพันธ์ของอัตราส่วนของคอร์ต่อวีเนียร์ต่อกลางความแข็งแรงของเซรามิกบางชนิดมาแล้วก็ตาม ความแข็งแรงของชิ้นเซรามิกเมื่อได้รับการเคลือบด้วยวีเนียร์พอร์ซเลนนั้นจะขึ้นอยู่กับความหนาของส่วนคอร์หรือไม่นั้นยังไม่เป็นที่แน่ชัด ความแข็งแรงของเซรามิกนั้นอาจยังขึ้นอยู่กับความเข้ากันได้ของวัสดุที่ต้องนำมาใช้ร่วมกันด้วย ดังนั้น ในการวิจัยครั้งนี้จึงทำการศึกษาถึงอัตราส่วนความหนาของคอร์ต่อวีเนียร์พอร์ซเลนของวัสดุออลเซรามิกทั้งสองชนิดคืออินซีเรมและไอพีเอสเอมเพรส ๒ โดยใช้วิธีการวัดความแข็งแรงด้วยทางสองแกน (biaxial flexural strength; BFS) ในชิ้นตัวอย่างที่มีอัตราส่วนความหนาของส่วนคอร์และวีเนียร์พอร์ซเลนที่แตกต่างกัน

วัสดุและวิธีการ

ทำการขึ้นรูปชิ้นตัวอย่างเซรามิกทั้งสองชนิดคือ อินซีเรม ชนิดอะลูมิโนที่ใช้ร่วมกับวิตาดัร์อัลฟ่า และไอพีเอสเอมเพรส ๒ ที่ใช้ร่วมกับไอพีเอสอิริส โดยแบ่งกลุ่มการทดลองในแต่ละชนิดออกเป็น ๕ กลุ่มตามอัตราส่วนคอร์ต่อวีเนียร์ ดังแสดงในตารางที่ ๑

วิธีขึ้นรูปชิ้นงาน

ขึ้นรูปชิ้นงานเซรามิกที่ทำจากวัสดุอินซีเรมร่วมกับวิตาดัร์อัลฟ่า และวัสดุไอพีเอสเอมเพรส ๒ ร่วมกับไอพีเอสอิริส ให้มีลักษณะตามมาตรฐาน ISO ๖๘๗๒^{๒๔} มีรูปร่างเป็นแผ่นกลม (disc) เส้นผ่านศูนย์กลาง 15 ± 0.5 มิลลิเมตร และหนา 1.2 ± 0.005 มิลลิเมตร

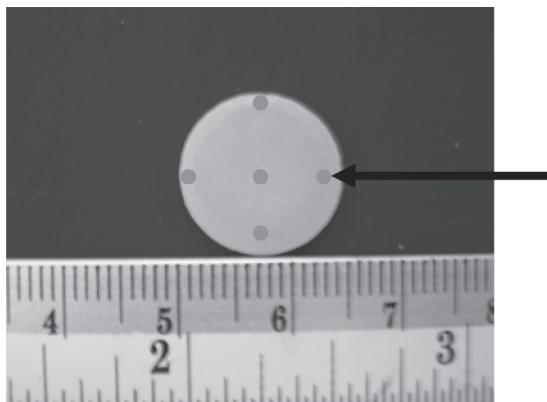
การเตรียมชิ้นงานอินซีเรม

การเตรียมส่วนคอร์ ทำการเตรียมส่วนผสมสลิปตามคำแนะนำของบริษัทผู้ผลิต จากนั้นผสมปลาสเตอร์พิเศษ (special plaster) เพื่อใช้เป็นฐานของการขึ้นรูป ให้มีเส้นผ่านศูนย์กลาง ๑.๕ นิ้ว และสูง ๑ นิ้ว รอให้แห้งตัว วางแผ่นเหล็กแม่แบบสำหรับขึ้นรูปแผ่นกลมเส้นผ่านศูนย์กลาง ๑๕ มิลลิเมตร และหนา ๑.๔ มิลลิเมตร บนฐานปลาสเตอร์ที่เตรียมไว้ เทส่วนผสมสลิปลงในแผ่นเหล็กแม่แบบให้หนากว่าขนาดที่ต้องการเล็กน้อย ทิ้งให้แห้งเป็นเวลา ๔๐ นาทีจึงแกะออกและนำเข้าเตาเผา ขัดชิ้นตัวอย่างด้วยกระดาษทรายเบอร์ ๖๐๐ ให้เรียบ จากนั้นนำมารอกด้วยแก้วแล่นทาลัมอะลูมิโนซิลิเกต และทำการเผาเพื่อแทรกซึมแก้วบนแผ่นแพลตินัม-ทองหนาน ๐.๑ มิลลิเมตร กำจัดแก้วส่วนเกินออกโดยการเปาหมายด้วยอะลูมิնัมออกไซด์ขนาด ๕๐ ไมครอน และแล้วขัดชิ้นงานให้

ตารางที่ ๑ กลุ่มของชิ้นตัวอย่างในการศึกษานี้

Table ๑ Groups of specimen in this study

	Group	Core : Veneer	Number
๑	In-Ceram core ๑.๒ mm.	๑:๐	๑๐
๒	In-Ceram core ๐.๘ mm. + Vitadur alpha ๐.๔ mm.	๒:๑	๑๐
๓	In-Ceram core ๐.๖ mm. + Vitadur alpha ๐.๖ mm.	๑:๑	๑๐
๔	In-Ceram core ๐.๔ mm. + Vitadur alpha ๐.๘ mm.	๑:๒	๑๐
๕	Vitadur alpha ๑.๒ mm.	๐:๑	๑๐
๖	IPS Empress ๒ core ๑.๒ mm.	๑:๐	๑๐
๗	IPS Empress ๒ core ๐.๘ mm.+ IPS Eris ๐.๔ mm.	๒:๑	๑๐
๘	IPS Empress ๒ core ๐.๖ mm.+ IPS Eris ๐.๖ mm.	๑:๑	๑๐
๙	IPS Empress ๒ core ๐.๔ mm.+ IPS Eris ๐.๘ mm.	๑:๒	๑๐
๑๐	IPS Eris ๑.๒ mm.	๐:๑	๑๐



รูปที่ 1 จุดที่ทำการวัดความหนาชิ้นตัวอย่างเพื่อควบคุมความหนาโดยรวมของชิ้นงาน

Fig. 1 Point of measurement to control thickness of specimen

ได้ความหนาตามที่ต้องการในแต่ละกลุ่ม ควบคุมความหนาของชิ้นตัวอย่างให้มีความสม่ำเสมอโดยใช้ดิจิตอลไมโครมิเตอร์วัด 5 จุด คือ ตรงกลาง 1 จุด และขอบโดยรอบ 4 จุด ดังรูปที่ 1

การเตรียมส่วนวีเนียร์ ทำการสร้างชิ้นวีเนียร์พอร์ซเลน สำหรับชิ้นตัวอย่างในกลุ่มที่ 2 3 4 และ 5 โดยในกลุ่มที่ 2 3 และ 4 นำส่วนของคอร์ที่ขัดได้ขนาดแล้วจากตอนแรกวางในแผ่นเหล็กแม่แบบก่อน จากนั้นนำไปปั้นรูปวิตาดัวร์อัลฟ่า แล้วนำไปเผาตามอุณหภูมิของบริษัทผู้ผลิต ขัดด้านวีเนียร์พอร์ซเลนด้วยกระดาษทรายเบอร์ 80 150 320 600 และ 1000 ตามลำดับ ให้ได้ชิ้นตัวอย่างที่มีความหนา 1.2 ± 0.005 มิลลิเมตร

การเตรียมชิ้นตัวอย่างไอพีเอสเมมเพรส 2

การเตรียมส่วนคอร์ ส่วนกระสวนชี้แจง (wax pattern) รูปแผ่นกลมเส้นผ่านศูนย์กลางขนาด 15 มิลลิเมตรจากแผ่นเหล็กแม่แบบ ด้วยชี้แจงอินแลร์สีน้ำเงิน (Kerr, U.S.A) ให้มีความหนากว่าที่ต้องการเล็กน้อย นำแบบหล่อชี้แจงไปลงอินเวสท์เมนต์ แพลทีซึ่ง และเข้ากระบวนการอัดภายใต้ความร้อนด้วยเครื่อง EP 500 press ตามคำแนะนำของบริษัทผู้ผลิต หลังจากนั้นนำแบบหล่อออกจากเตาเผา ทิ้งไว้ให้เย็นลงที่

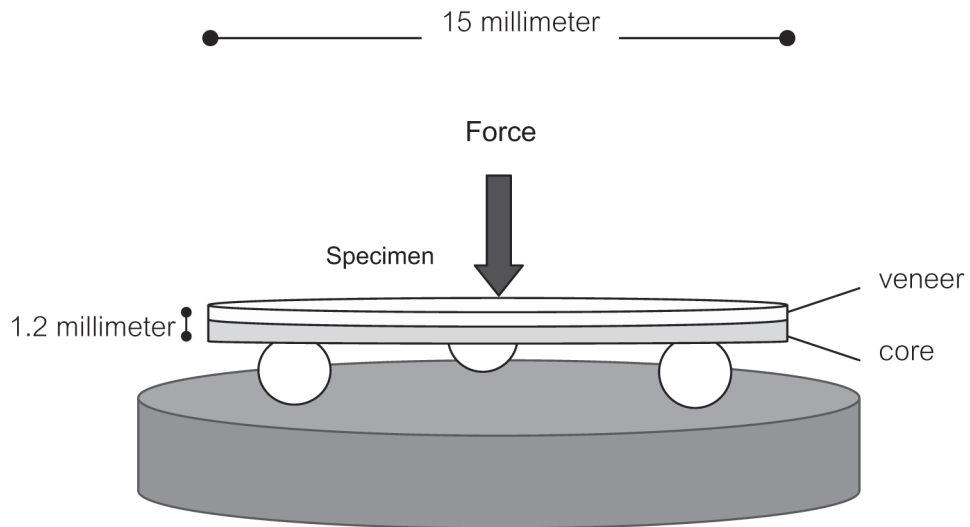
อุณหภูมิห้อง ทำการแกะชิ้นงานเซรามิกออกจากแบบหล่อแล้วขัดแต่งให้ได้ความหนาตามต้องการในแต่ละกลุ่มด้วยกระดาษทรายเบอร์ 80 150 320 600 และ 1000 ตามลำดับ จากนั้นทำการเตรียมพื้นผิวเซรามิกด้วยการเป่าทรายที่ชิ้นตัวอย่างด้วยผงแก้วขนาด 50 ไมครอน ที่ความดัน 1 บาร์ ทำการควบคุมความหนาของชิ้นงานด้วยวิธีเดียวกับอินชีเรน

การเตรียมส่วนวีเนียร์ ทำการสร้างชิ้นไอพีเอสอิริส สำหรับชิ้นตัวอย่างในกลุ่มที่ 7 8 9 และ 10 โดยในกลุ่มที่ 7 8 และ 9 ให้วางส่วนคอร์ลิ้งในແຜ່ນเหล็กแม่แบบก่อน นำไปปั้นรูปและเผาตามคำแนะนำของบริษัทผู้ผลิต จากนั้นขัดให้ได้ขนาดชิ้นตัวอย่างที่มีความหนาเช่นเดียวกับอินชีเรน

ในขั้นตอนการสร้างชิ้นงานตั้งแต่ขั้นตอนการสร้างชิ้นคอร์ หรือชิ้นวีเนียร์ หากพบชิ้นงานที่มีรอยร้าวหรือรูพรุนที่มองเห็นได้จะทำการคัดออกและสร้างชิ้นงานใหม่ทดแทน นำชิ้นตัวอย่างทั้งหมดมาทำความสะอาดด้วยเครื่องอัลตราโซนิก เป็นเวลา 15 นาที

การทดสอบความแข็งแรงดัดข้างสองส่องแกน

นำชิ้นตัวอย่างมาทดสอบความแข็งแรงดัดข้างสองส่องแกนตามมาตรฐาน ISO 6872 ในสภาพแวดล้อมที่แห้ง ด้วยเครื่องทดสอบสากล (Instron 5583, Instron, Canton, MA, USA) โดยแบนทดสอบเป็นลูกบอลเหล็กรองรับมีเส้นผ่านศูนย์กลาง 3 มิลลิเมตร สามลูกซึ่งเรียงตัวทำมุม 120 องศา วางชิ้นตัวอย่างลงบนแบนทดสอบโดยให้ส่วนวีเนียร์พอร์ซเลนอยู่ทางด้านบน ดังรูปที่ 2 ใช้หัวกดเส้นผ่านศูนย์กลาง 1.5 มิลลิเมตร เคลื่อนหัวกดลงที่กึ่งกลางของชิ้นตัวอย่างด้วยความเร็วหัวกด 1 มิลลิเมตรต่อนาทีจนแตก บันทึกค่าแรงกดสูงสุดที่ทำให้ชิ้นตัวอย่างแตก และเก็บชิ้นตัวอย่างที่แตกเพื่อนำมาศึกษาลักษณะการแตก (fracture analysis) โดยตรวจสอบลักษณะพื้นผิวของรอยแตกด้วยกล้องจุลทรรศน์อิเล็กทรอนแบบส่องgraphic (Scanning Electron Microscope, JSM 5410LV, JEOL Ltd, Tokyo, Japan)



รูปที่ ๒ การทดสอบความแข็งแรงด้วยวิธีใช้ห้องกลมรองรับสามลูก

Fig. 2 Biaxial flexural test by means of piston on three ball test

คำนวณค่าความแข็งแรงด้วยวิธีของแกนโดยกลุ่มชั้นงานชั้นเดียว (กลุ่มที่ ๑ ๕ ๖ และ ๑๐) และกลุ่มที่เป็นสองชั้น (กลุ่มที่ ๒ ๓ ๔ ๗ ๘ และ ๙) ใช้ความสัมพันธ์ต่อไปนี้

$$BFS \text{ (monolayer)}^{25} = -0.2387 P (X-Y) / d^2$$

$$BFS \text{ (bilayer)}^{23} = 6 M / t_{2p}^2 k_{2p} \left\{ E_{t_b} / E_{t_a} + E_b (t_a + t_b) / (E_{t_a} + E_{t_b}) \right\}$$

$$\text{โดย } X = (1+v) \ln(r_2/r_3)^2 + \{(1-v)/2\} (r_2/r_3)^2$$

$$Y = (1+v) \{1 + \ln(r_1/r_3)^2\} + (1-v) (r_1/r_3)^2$$

$$K_{2p} = 1 + (E_{t_b}^3/E_{t_a}^3) + \{3E_{t_b} (1+t_b/t_a) / 2 / (E_{t_a} E_{t_b})\}$$

$$M = P/8\pi \{ (1+v) + 2(1+v) \ln r_1/r_2 + (1-v) \{1-r_2^2/2r_1^2\} r_1^2 r_3^2 \}$$

P คือ แรงกดสูงสุดที่ทำให้เกิดการแตก (นิวตัน)

D คือ ความหนาของชั้นหัวอย่าง (มิลลิเมตร)

v คือ Poisson's ratio (0.25)

r₁ คือ รัศมีของวงกลมรองรับ (5 มิลลิเมตร)

r₂ คือ รัศมีของบริเวณที่โคนกุด (0.75 มิลลิเมตร)

r₃ คือ รัศมีของชั้นหัวอย่าง (7.5 มิลลิเมตร)

E_a คือ modulus ยึดหยุ่นของวีเนียร์พอร์ซเลน: ไอพีเอส อีวิส และ วิตาดัลฟ์อัลฟ่า (69 และ 64 กิกะปาสกาล)

E_b คือ modulus ยึดหยุ่นของส่วนคอร์: ไอพีเอสเคอมเพรส และ อินชีแรม (96 และ 234 กิกะปาสกาล)

t_a คือ ความหนาของชั้นวีเนียร์พอร์ซเลน (มิลลิเมตร)

t_b คือ ความหนาของชั้นคอร์ (มิลลิเมตร)

นำข้อมูลที่ได้มาวิเคราะห์ทางสถิติ โดยใช้โปรแกรม เอสพีเอสแอฟฟอร์วินไดร์ (SPSS for Window) โดยใช้การวิเคราะห์ความแปรปรวน (ANOVA, analysis of variance)

ผลการศึกษา

ผลการทดลองค่าเฉลี่ยความแข็งแรงด้วยวิธีของแกนของวัสดุอลเซรามิกสองชนิด ที่มีอัตราส่วนของคอร์ต่อวีเนียร์ที่แตกต่างกัน ได้ผลดังตารางที่ ๒ บัญชีที่จะมีผลต่อค่าความแข็งแรงด้วยวิธีของแกนปัจจัย ได้แก่ ความแตกต่างของชนิดของวัสดุและอัตราส่วนของคอร์ต่อวีเนียร์ จึงแบ่งการวิเคราะห์ออกเป็นดังนี้

ตารางที่ 2 ค่าความแข็งแรงดัดขวางสองแกนของเซรามิกสองชนิดในการทดลองนี้

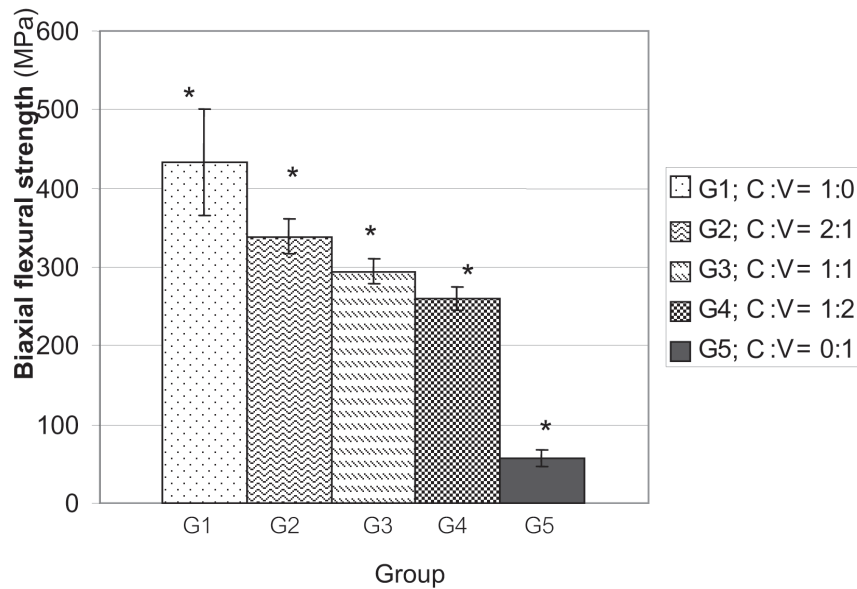
Table 2 Biaxial flexural strength of two ceramic materials obtained in the study

sample	Biaxial flexural strength (MPa)									
	In-Ceram : Vitadur alpha					IPS Empress 2 : IPS Eris				
	group 1	group 2	group 3	group 4	group 5	group 6	group 7	group 8	group 9	group 10
1	495.95	343.47	325.49	256.53	55.51	270.63	219.54	232.50	236.90	75.66
2	466.05	290.48	297.34	266.32	53.84	333.49	237.03	271.47	243.82	68.57
3	479.53	368.32	305.50	260.00	65.07	270.14	209.45	271.50	258.28	58.36
4	354.89	347.03	295.41	270.45	79.24	334.63	230.79	247.47	219.56	69.70
5	418.71	321.12	303.82	241.75	43.77	337.42	218.79	231.42	204.99	75.95
6	345.34	351.24	286.95	286.74	43.24	215.81	252.34	272.95	251.29	68.96
7	453.32	320.05	290.56	270.59	61.52	314.16	292.16	263.23	206.27	73.06
8	515.02	340.59	269.92	250.56	56.88	234.61	283.34	295.01	258.93	62.91
9	477.21	348.93	280.88	258.56	56.45	316.70	266.84	291.78	194.26	65.82
10	324.53	357.79	288.43	237.91	50.39	255.51	253.10	290.00	191.64	66.58
Mean	433.06	338.90	294.43	259.94	56.59	288.31	246.34	266.73	226.59	68.56
Standard deviation	68.37	22.56	15.19	14.53	10.54	44.64	28.16	23.22	26.37	5.52

ผลของอัตราส่วนคอร์ต่อวีเนียร์ในเซรามิกแต่ละชนิดต่อความแข็งแรงดัดขวางสองแกน

นำค่าความแข็งแรงดัดขวางสองแกนของเจพาสกลุ่มเซรามิกชนิดเดียวกันโดยที่อัตราส่วนคอร์ต่อวีเนียร์ที่แตกต่างกันมากวิเคราะห์ความแตกต่างด้วยการทดสอบความแปรปรวนทางเดียวที่นัยสำคัญ 0.05 ได้ผลของอินซีเรมและไอพีเอส เอมเพรส 2 ดังรูปที่ 3 และ 4 ในกลุ่มของอินซีเรมพบว่ากลุ่มที่มีค่าความแข็งแรงดัดขวางสองแกนสูงสุดคือ กลุ่มของอินซีเรมทั้งชิ้น ส่วนกลุ่มที่มีค่าความแข็งแรงดัดขวางสองแกน

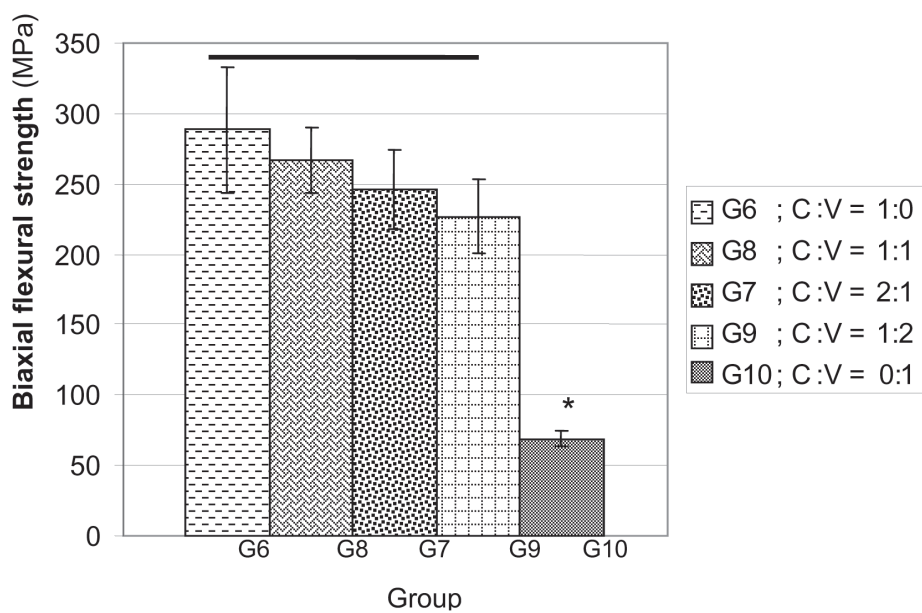
ต่ำสุดคือ กลุ่มของวีเนียร์วิตาดัลฟ้าทั้งชิ้น และเมื่ออัตราส่วนคอร์ต่อวีเนียร์แตกต่างกัน ค่าความแข็งแรงดัดขวางสองแกนแตกต่างกันอย่างมีนัยสำคัญ ($p<0.05$) โดยค่าจะลดลงเมื่อความหนาของชั้นคอร์ลลดลง แต่ในกลุ่มที่มีไอพีเอสเอ็ม-เพรสเป็นคอร์นั้นพบว่าเมื่ออัตราส่วนคอร์ต่อวีเนียร์แตกต่างกันค่าความแข็งแรงดัดขวางสองแกนกลับแตกต่างกันอย่างไม่มีนัยสำคัญ ($p>0.05$) โดยค่าจะไม่ลดลงอย่างมีนัยสำคัญเมื่อความหนาของชั้นคอร์ลดลง



* = significant difference at $p= 0.05$

รูปที่ 3 ค่าเฉลี่ยและส่วนเบี่ยงเบนมาตรฐานของความแข็งแรงด้วยแรงสองแกนของกลุ่มของอินซีเรม เมื่อวิเคราะห์ด้วยความแปรปรวนทางเดียว

Fig. 3 Mean and standard deviation of biaxial flexural strength of In-Ceram analyzed by one-way ANOVA



* = significant difference at $p= 0.05$

— = no significant difference at $p= 0.05$

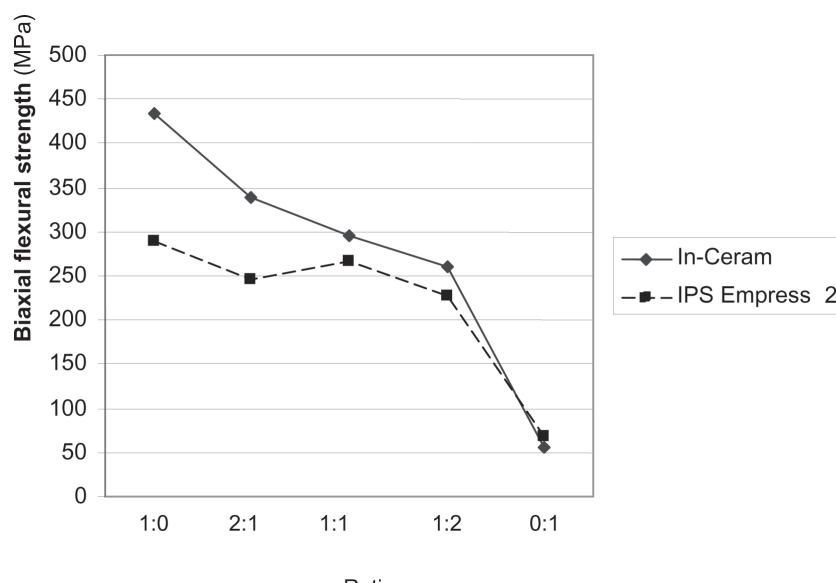
รูปที่ 4 ค่าเฉลี่ยและส่วนเบี่ยงเบนมาตรฐานของความแข็งแรงด้วยแรงสองแกนของไอพีเอสэмเพรส 2 เมื่อวิเคราะห์ด้วยความแปรปรวนทางเดียว

Fig. 4 Mean and standard deviation of biaxial flexural strength of IPS Empress 2 analyzed by one-way ANOVA

ผลของอัตราส่วนคอร์ต่อวีเนียร์และชนิดของเซรามิกต่อความแข็งแรงด้านขวางสองเกน

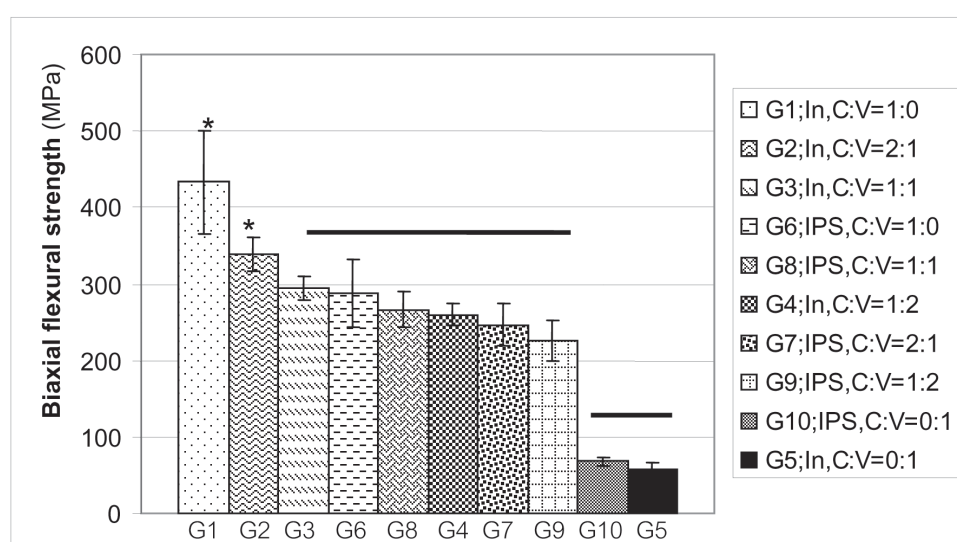
นำค่าความแข็งแรงด้านขวางสองเกนของกลุ่มเซรามิกทั้งสองชนิดมาวิเคราะห์ความแตกต่างด้วยการทดสอบความแปรปรวนสองทางที่นัยสำคัญ 0.05 ได้ผลดังรูปที่ 5 และนำ

ข้อมูลทั้ง 10 กลุ่มมาทดสอบการกระจายตัวและทำการทดสอบด้วยการทดสอบแทนเมเยน (Tamhane's test) ร่วมกับที-เทสท์ (T-test) เพื่อจัดกลุ่มที่ไม่แตกต่างกันให้ชัดเจนยิ่งขึ้น พบว่าชนิดของเซรามิกมีผลร่วมกันกับอัตราส่วนความหนาคอร์ต่อวีเนียร์ที่ระดับนัยสำคัญ 0.05 ได้ผลดังรูปที่ 6



รูปที่ 5 เปรียบเทียบค่าความแข็งแรงด้านขวางสองเกนของอินซีเรมและไอพีเอสเอมเพรส 2 ที่อัตราส่วนคอร์ต่อวีเนียร์ต่าง ๆ

Fig. 5 Comparison of biaxial flexural strength of In-Ceram and IPS Empress 2 at different core:veneer ratios



* = significant difference at $p= 0.05$

— = no significant difference at $p= 0.05$

รูปที่ 6 การจัดกลุ่มค่าความแข็งแรงด้านขวางของอินซีเรมและไอพีเอสเอมเพรส 2 หลังการทดสอบด้วยความแปรปรวนสองทาง

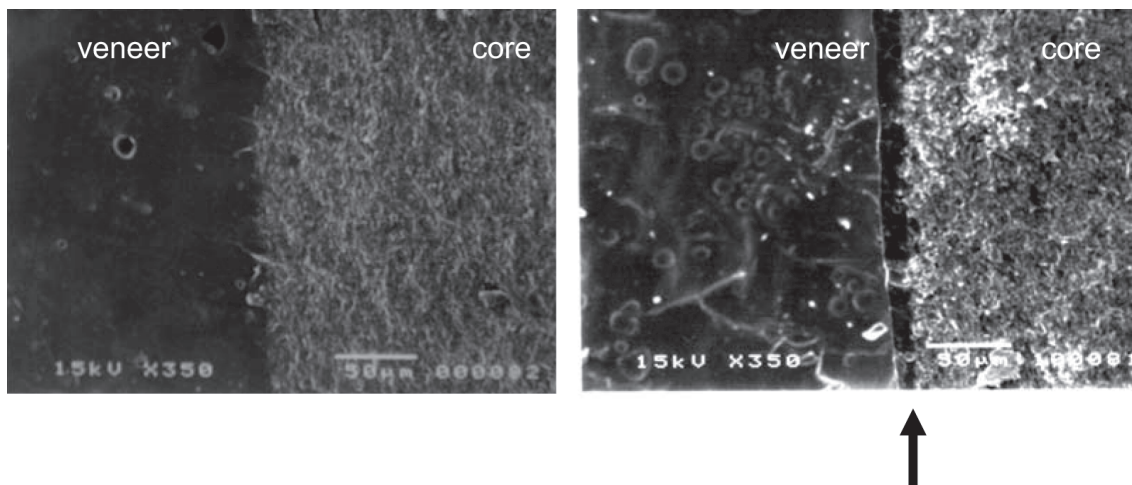
Fig. 6 Groups of biaxial flexural strength of In-Ceram and IPS Empress 2 analyzed by two-way ANOVA

วิจารณ์

ความแข็งแรงดัดขวางสองแกนมีความหมายสมที่จะใช้กับวัสดุที่มีความเปราะอย่างเซรามิกได้ดีเนื่องจากวัสดุอาจมีทำนิเกิดขึ้นได้หลายรูปแบบตามแนวแกนต่าง ๆ จึงให้มูลที่น่าเชื่อถือมากกว่าความแข็งแรงดัดขวางแกนเดียว ในขณะทดสอบส่วนล่างของชิ้นตัวอย่างจะเกิดแรงเค้นตึงและส่วนด้านบนจะเกิดแรงเค้นอัด เนื่องจากแรงเค้นตึงจะเกิดมากที่สุดบริเวณกึ่งกลางของชิ้นงาน ดังนั้นความบกพร่องที่บริเวณขอบจะมีผลกระทบบันน้อย รวมทั้งมีแนวโน้มให้หินการแตกแยกชั้นได้ดีกว่า²⁴ นอกจากนี้ชิ้นงานที่มีรอยพูนจากการขันรูปจะมีผลน้อยกว่าเมื่อเทียบกับความแข็งแรงดัดขวางแกนเดียว^{3,23,26} Guazzato และคณะ²⁷ พบว่าค่าความแข็งแรงดัดขวางสองแกนนั้นได้รับผลจากคุณสมบัติของวัสดุที่อยู่ชั้นล่างมากกว่า ซึ่งได้แสดงผลให้เห็นจากวิธีไฟไนต์เอลิเมนต์ (finite element) พบว่าเมื่อ กดชิ้นงานจะมีแรงเค้นอัดบนผิวไวเนียร์ และส่วนคอร์ที่อยู่ด้านล่างจะช่วยการกระจายแรงเค้นได้อย่างสม่ำเสมอ กว่า ซึ่งให้ผลเท่าเดียวกับ White และคณะ²⁸ ซึ่งได้ทำการศึกษาความแข็งแรงดัดขวางแกนเดียวของเซรามิกสองชั้นไว้ก่อนหน้านี้ การศึกษานี้จึงให้ข้อเสนอแนะว่า ค่าความแข็งแรงดัดขวางสองแกนที่ได้รับผลจากการทดสอบของ Guazzato และคณะ²⁷ นั้นแทบจะไม่มีผล ซึ่งสอดคล้องกับการศึกษาของ Ohyama และคณะ²³ ที่พบว่าในกลุ่มของอินซีเรมนั้น เมื่ออัตราส่วนความหนาของคอร์ลดลง ค่าความแข็งแรงดัดขวางสองแกนก็ลดลงไปด้วย และว่าความหนาของส่วนคอร์น่าจะมีบทบาทต่างกันในเซรามิกแต่ละชนิด คือ มีความสำคัญต่อความแข็งแรงของอินซีเรม ในขณะที่กลุ่มของไอพี-เอกซ์เอมเพรส 2 นั้นความหนาของคอร์ไม่มีผลต่อความแข็งแรงโดยรวมมากนัก ซึ่งสาเหตุสำคัญที่ทำให้ได้ผลลัพธ์ล่างน่าจะมา

จากความเข้ากันได้ของวัสดุคอร์และไวเนียร์ Wakabayashi และ Anusavice²⁹ พบว่าความแข็งแรงของการใช้วัสดุเซรามิกสองชนิดร่วมกันในทางคลินิก ขึ้นอยู่กับปัจจัยหลายอย่าง ได้แก่ ความหนาของเซรามิกแต่ละชั้น คุณสมบัติของเซรามิก ค่ามอดูลัสสภาพยืดหยุ่นของวัสดุรองรับ เช่น เนื้อฟัน ขนาดและความถี่ของแรงที่ใช้กด ขนาดและตำแหน่งของจุดสัมผัส ด้านบดเคี้ยว แรงเครียดที่เหลือค้างของวัสดุหลังจากการขันรูป ความบกพร่องระหว่างชั้นของวัสดุรูป惚และชั้นซีเมนต์ และสภาพในช่องปาก เช่น น้ำลาย เป็นต้น แต่การสร้างให้เกิดความแข็งแรงของวัสดุรูป惚ที่เป็นการใช้เซรามิกสองชนิดร่วมกัน นอกจากจะขึ้นอยู่กับความแข็งแรงของเซรามิกแต่ละชนิดแล้ว ยังขึ้นอยู่กับความเข้ากันได้ของวัสดุทั้งสองชนิดด้วย ซึ่งได้แก่ คุณสมบัติเชิงกล เช่น ค่ามอดูลัสสภาพยืดหยุ่น ค่าสมประสิทธิ์การขยายตัวเมื่อร้อน และการยึดติดกันของวัสดุ เป็นต้น ถ้าเป็นเซรามิกชนิดเดียวกันหรือใกล้เคียงกันก็จะเกิดการยึดติดกันได้ดี ในขณะทำการเผาขันรูปเพื่อให้เกิดแรงยึดทางเคมีซึ่งมีความเสถียรมากกว่า หรือหากเซรามิกมีความแตกต่างกันก็อาจใช้วิปปันสภาพผิวเพื่อให้เกิดการยึดติดเชิงกล เช่น การเป่าทรายเพื่อให้เกิดสภาพผิวที่ขรุขระ

จากผลการทดลองพบว่าค่าคอร์ของอินซีเรมนั้นมีค่าความแข็งแรงดัดขวางสองแกนมากกว่าคอร์ของไอพี-เอกซ์เอมเพรส 2 ประมาณ 1.5 เท่า ส่วนไวเนียร์พอร์ซเลนไอพี-เอกซ์อิริสและวิตาดัลฟ์ฟามีค่าความแข็งแรงดัดขวางสองแกนไม่แตกต่างกันอย่างมีนัยสำคัญ เมื่อเปรียบเทียบภายนอกแต่ละระบบ คอร์ของอินซีเรมมีค่าความแข็งแรงดัดขวางสองแกนมากกว่า วิตาดัลฟ์ฟามประมาณ 8 เท่า ในขณะที่คอร์ของไอพี-เอกซ์เอมเพรส 2 มีค่าความแข็งแรงดัดขวางสองแกนมากกว่าไอพี-เอกซ์อิริสเพียงประมาณ 4 เท่า หากเปรียบเทียบความแตกต่างของค่ามอดูลัสสภาพยืดหยุ่น พบว่าส่วนของคอร์และไวเนียร์ของอินซีเรมจะมีค่ามอดูลัสสภาพยืดหยุ่นแตกต่างกันมาก ประมาณ 4 เท่า ในขณะที่ไอพี-เอกซ์เอมเพรส 2 มีความแตกต่างกันเพียงประมาณ 1.4 เท่า จากผลการทดลองแสดงให้เห็นว่าวัสดุที่มีค่าร์และไวเนียร์พอร์ซเลนที่มีความยึดหยุ่น



รูปที่ 7 ภาพจากกล้องจุลทรรศน์อิเล็กตรอนแสดงพื้นผิวการแตกบริเวณรอยต่อ (a) ชิ้นตัวอย่างไอพีเอสэмเพรส 2 และไอพีเอส อีริส พบรอยต่อที่ยังติดกันอย่างสมบูรณ์ของคอร์และวีเนียร์ (b) ชิ้นตัวอย่างอินซีเรมและวิตาดัร์อัลฟ่า พบรอยแยกชั้นของคอร์และวีเนียร์ (ครีฟ)

Fig 7 Scanning electron micrographs showed the fracture surface at bonding interface (a) specimen of IPS Empress 2 and IPS Eris : complete bonding interface of core and veneer was observed. (b) specimen of In-Ceram and vitadur alpha : delamination of core and veneer (arrow) was observed.

ต่างกันมาก ความหนาของชั้นที่มีความแข็งแรงสูงจะมีผลต่อค่าความแข็งแรงโดยรวม ซึ่งเห็นได้จากการที่อินซีเรมที่เมื่ออัดตราส่วนคอร์ต่อวีเนียร์ลดลงค่าความแข็งแรงดัดขวางสองแกนก็ลดลงไปด้วย แต่ในไอพีเอสэмเพรส 2 ซึ่งมีความแตกต่างกันของความยืดหยุ่นของวัสดุน้อยกว่าจะพบว่าเมื่อความหนาของคอร์ลดลงจะมีผลไม่มากนัก ซึ่งอาจเป็นไปได้ว่าวัสดุคอร์และวีเนียร์มีความเข้ากันได้ ทำให้มีการส่งผ่านและกระจายแรงได้ดีในเซรามิกทั้งชั้นจึงทำให้มีความแข็งแรงโดยรวมใกล้เคียงกันทั้งที่ความหนาของคอร์แตกต่างกัน ซึ่งจะเห็นได้จากผลการศึกษาด้วยกล้องจุลทรรศน์อิเล็กตรอนซึ่งบ่งชี้ให้เห็นว่าพบรการแตกแยกชั้นของอินซีเรมเป็นส่วนใหญ่ ในขณะที่ไม่พบการแตกลักษณะนี้ในไอพีเอสэмเพรส 2 (รูปที่ 7) ผลการทดลองสามารถยืนยันได้จากการศึกษาไฟไนต์อโลมิเนนต์ ซึ่งพบการสะสมความเครื่องที่บริเวณรอยต่อ (interface) ของวัสดุที่มีมอดูลัสสูงพยุงหยุ่นต่างกันมาก

ซึ่งจะเกิดการแตกจากชั้นวีเนียร์พอร์ซเลน²⁷ เนื่องจากค่าสัมประสิทธิ์การขยายตัวเมื่อร้อนของอินซีเรมแตกต่างจากของวิตาดัร์อัลฟามาก ทำให้เกิดแรงเด่นอัดตอกค้างและเกิดการแตกแยกชั้นได้มากกว่าไอพีเอสэмเพรส 2 กับไอพีเอส อีริส ซึ่งคล้ายกับการศึกษาของ Smith Kelly และ Tesk³⁰ เนื่องจากวิตาดัร์อัลฟาระอินซีเรમมีค่ามอดูลัสสูงพยุงหยุ่นแตกต่างกันมาก³¹ Al-Dohan และคณะ³² ได้ทำการศึกษาค่าความแข็งแรงเจื่อนระหว่างชั้นคอร์กับวีเนียร์ในเซรามิกชนิดต่าง ๆ พบร่วมกับไอพีเอสэмเพรส 2 กับไอพีเอส อีริสมีค่าความแข็งแรงเจื่อนมากกว่าเซรามิกชนิดอื่น

ไอพีเอสэмเพรส 2 จะมีความสวยงามใกล้เคียงพื้นธรรมชาติมากกว่าอินซีเรม เพราะมีความโปร่งแสงมากกว่า โดยทั่วไปพบว่าหากใช้คอร์ของอลเซรามิกที่ความหนามากจะทำให้ครอบพื้นที่มีความทึบแสงมากขึ้น³³ จากผลการศึกษาพบว่าอัตราส่วนของคอร์ต่อวีเนียร์ของไอพีเอสэмเพรส 2

สามารถแบ่งผู้ได้โดยไม่มีผลต่อความแข็งแรงมากนัก ดังนั้นในบริเวณที่ต้องการความสวยงาม อาจใช้ความหนาของวีเนียร์พอร์ชเลนได้โดยไม่ต้องกังวลถึงความแข็งแรงที่อาจลดลง หากต้องการความแข็งแรงของครอบฟันหรือสะพานฟัน เช่น บริเวณฟันหลัง อาจเลือกใช้อินซีเรมซึ่งควรคำนึงถึงความหนาของคอร์เป็นสำคัญ Guazzato และคณะ²⁷ กล่าวว่าหากคำนึงแต่ในเรื่องแข็งแรงบางครั้งอาจไม่จำเป็นต้องเคลือบด้วยวีเนียร์เพราการเคลือบชั้นวีเนียร์กับวัสดุคอร์ที่มีความแข็งมาก ๆ จะทำให้ค่าความแข็งแรงของครอบฟันลดลง เช่น บริเวณส่วนเชื่อมโยง (connector) ของสะพานฟัน หรือบริเวณด้านลิ้นของครอบฟันหน้า เป็นต้น

อย่างไรก็ตาม ใน การเลือกใช้วัสดุอลเซรามิกนอกจากจะต้องคำนึงถึงความแข็งแรงของเซรามิก และความเข้ากันได้ของส่วนคอร์และวีเนียร์แล้ว ยังต้องคำนึงถึงความสามารถในการยึดกับเนื้อฟันของเซรามิกแต่ละชนิด ความแนบสนิท อัตราการลึก ความเข้ากันได้กับเนื้อเยื่อในช่องปาก และสภาพเนื้อฟันที่เหลืออยู่อีกด้วย³³

สรุป

1. อัตราส่วนคอร์ต่อวีเนียร์ที่แตกต่างกันมีผลทำให้ค่าความแข็งแรงตัดขวางสองเกณฑ์ของอินซีเรม มีความแตกต่างอย่างมีนัยสำคัญ ($p<0.05$) โดยค่าความแข็งแรงตัดขวางจะมีความสัมพันธ์โดยตรงกับความหนาของคอร์

2. อัตราส่วนคอร์ต่อวีเนียร์ที่แตกต่างกัน ไม่ทำให้ค่าความแข็งแรงตัดขวางสองเกณฑ์ของไอพีเอสเอมเพรส 2 มีความแตกต่างอย่างมีนัยสำคัญ ($p>0.05$)

ความแข็งแรงโดยรวมของเซรามิกที่ใช้ร่วมกันระหว่างวัสดุคอร์และวีเนียร์ขึ้นอยู่กับชนิดของเซรามิก โดยอัตราส่วนของคอร์และวีเนียร์จะมีผลเมื่อเซรามิกมีความแตกต่างกันมาก ของวัสดุคอร์และวีเนียร์และความแข็งแรงจะขึ้นกับความหนาของชั้นคอร์

กิตติกรรมประกาศ

ขอขอบคุณการสนับสนุนการวิจัยจากเงินทุนงบประมาณแผ่นดิน ปีพ.ศ. ๒๕๔๘

ขอขอบคุณ อาจารย์ ไพบูลย์ พิทยานนท์ ที่ช่วยให้ความรู้และคำแนะนำทางด้านสถิติ

ขอขอบคุณบริษัทเดนทัลวิชั่น ที่เอื้อเฟื้อวัสดุเอดิสเอนเพรส 2 และวีเนียร์ไอพีเอสเอมเพรส

ขอขอบคุณแลบปุณฑรี อารียา ที่ช่วยเหลือในการขึ้นรูปเซรามิก

เอกสารอ้างอิง

- Myer ML, Ergle JW, Fairhurst CW, Ringle RD. Fatigue failure parameters of IPS Empress porcelain. *Int J Prosthodont.* 1994;7:549-53.
- Anusavice KJ. Recent developments in restorative dental ceramics. *J Am Dent Assoc.* 1993;124: 72-84.
- Wen MY, Mueller HJ, Chai J, Wonzniak WT. Comparative mechanical property characterization of 3 all-ceramic core materials. *Int J Prosthodont.* 1999;12:534-41.
- Rosenblum MA, Schulman A. A review of all-ceramic restorations. *J Am Dent Assoc.* 1997; 128:279-309.
- Pober RL, Giordano RA, Campbell SD, Pelletier LB. Compositional analysis of In-Ceram infusion glass. *J Dent Res.* 1992;71:253.(abstact)
- Giordano RA. Dental ceramic restorative systems. *Compend Contin Educ Dent.* 1996;17:779-94.
- Probster L, Diehl L. Slip casting alumina ceramic for crown and bridge restoration. *Quintessence Int* 1992;23:25-31.

8. Sorensen JA, Knodel H, Torres TJ. In-Ceram all ceramic bridge technology. *Quintessence Dent Tech.* 1992;15:41-46.
9. Kanchanatawewat K, Giordano RA, Pober RL, Nathanson D. Evaluation flexural strength of materials for all-ceramic restorations. *CU Dent J.* 1997;20:1-8.
10. Seghi RR, Daher T, Caputo A. Relative flexural strength of dental restorative ceramics. *Dent Mater.* 1990;6:181-4.
11. Seghi RR, Sorensen JA. Relative flexural strength of six new ceramic materials. *Int J Prosthodont.* 1995;8:239-46.
12. Giordano RA, Cima M, Prober R. Effect of surface finishing on the flexural strength of feldspathic and aluminous dental ceramics. *Int J Prosthodont.* 1995;5:311-9.
13. Scotti R, Catapano S, D'Elia A. A clinical evaluation of In-Ceram crowns. *Int J Prosthodont.* 1995;8:320-3.
14. Dong JK, Luthy H, Wohlwend A, Scharer P. Heat - pressed ceramics : Technology and strength. *Int J Prosthodont.* 1992;5:9-16.
15. Anusavice KJ. Philips science of dental materials. 10thed. Philadelphia : W.B. Sauder Company, 1996:583-618.
16. Mackert JR Jr, Russell CM. Leucite crystallization during processing of a heat-pressed dental ceramic. *Int J Prosthodont.* 1996;9:261-5.
17. Schweiger M, Holand W, Frank M. IPS Empress 2 : A new pressable high-strength glass-ceramic for esthetic all- ceramic restoration. *Quintessence Dent Tech.* 1999;22: 143-151.
18. Janda R, Roulet JF, Wulf M, Tiller HJ. A new adhesive technology for all-ceramics. *Dent Mater.* 2003;19:567-73.
19. Wagner WC, Chu TM. Biaxial flexural strength and indentation fracture toughness of three new dental core ceramics. *J Prosthet Dent.* 1996;76:140-4.
20. Oden A, Rowcliffe D, Zeng K. Flexural test on dental ceramics. *Int J Prosthodont.* 1996;9:434-9.
21. Arbakry M, Guazzato M, Swain MV. Biaxial flexural strength, elastic moduli, and x-ray diffraction characterization of three pressable all-ceramic material. *J Prosthet Dent.* 2003;89:374-80.
22. Zeng K, Oden A, Rowcliffe D. Evaluation of mechanical properties of dental ceramic core materials in combination with porcelains. *Int J Prosthodont.* 1998;11:183-9.
23. Ohyama T, Yoshinari M, Oda Y. Effect of cyclic loading on the strength of all ceramic materials. *Int J Prosthodont.* 1999;12:28 -37.
24. Thompson GA. Influence of relative layer height and testing method on the failure mode and origin in a bilayered dental ceramic composite. *Dent Mater.* 2000;16:235-43.
25. The international organization for Standardization. Dental ceramic. International standard ISO 6872, 2nd ed. Switzerland : Case Postale, 1995;56:6-8.
26. Ban S, Anusavice KJ. Influence of test method on failure stress of brittle dental materials. *J Dent Res.* 1990;69:791-9.
27. Guazzato M, Proos K, Sara G, Swain MV. Strength, reliability and mode of fracture of bilayered porcelain/core ceramics. *Int J Prosthodont.* 2004;17:142-9.

28. White SN, Caputo AA, Vidjak FM, Seghi RR. Moduli of rupture of layered dental ceramics. *Dent Mater.* 1994;10:52-58.
29. Wakabayashi N, Anusavice KJ. Crack initiation modes in bilayered alumina/porcelain disks as a function of core/veneer thickness ratio and supporting substrate stiffness. *J Dent Res.* 2000; 79:1398-404.
30. Smith TB, Kelly JR, Tesk JA. In vitro fracture behavior of ceramic and metal-ceramic restorations. *J Prosthodont.* 1994;3:138-44.
31. Cattell MJ, Palumbo RP, Knowles JC. The effect of veneering and heat treatment on the flexural strength of Empress 2 ceramics. *J Dent.* 2002;30: 161-9.
32. Al-Dohan HM, Yaman P, Dennison JB, Razzoog ME, Lang BR. Shear strength of core-veneer interface in bi-layered ceramics. *J Prosthet Dent.* 2004;91:349-55.
33. Heffernan MJ, Aquillino SA, Diaz-Arnold AM, Haselton DR, Stanford CM, Vasgas MA. Relative translucency of six all-ceramic systems. Part I: Core materials. *J Prosthet Dent.* 2002;88:4-9.

Biaxial flexural strength of two all-ceramic materials at different layering thickness

Pawarisa Thomvanich DDS.¹

Prarom Salimee DDS., Ph.D.²

Mansuang Arksornnukit DDS., MSc., Ph.D.²

¹Master student

²Department of Prosthodontics, Faculty of Dentistry, Chulalongkorn University

Abstract

Objective To investigate the strength of two all ceramic systems; In-Ceram and IPS Empress 2 at different thicknesses of core and veneer ratio by means of biaxial flexural strength (BFS).

Material and methods Fifty disc samples of each all ceramic system, 15 mm. in diameter and 1.2 mm. in thickness, were fabricated following manufacturer's recommendations. The samples were divided into five groups ($n=10$ each) depending on different core and veneer thickness ratio 1:0, 2:1, 1:1, 1:2 and 0:1, respectively. All samples were subjected to BFS testing following ISO 6872(1995) on the universal testing machine with crosshead speed of 1.0 mm/min.

Results The means \pm standard deviation of BFS of In-Ceram in group 1 – 5 were 433.1 ± 68.4 , 338.9 ± 22.6 , 294.4 ± 15.2 , 259.9 ± 14.5 and 56.6 ± 10.5 MPa, respectively. For IPS Empress 2 in group 6 – 10 were 288.3 ± 44.6 , 246.3 ± 28.2 , 266.73 ± 23.22 , 226.6 ± 2.4 and 68.6 ± 5.5 MPa, respectively. ANOVA and Tamhane's test revealed that the BFS of In-Ceram alone was significantly higher than In-Ceram combined with veneer porcelain as well as the decreasing of BFS when the thickness of core was decreased respectively ($p<0.05$). For IPS Empress 2, the BFS of IPS Empress 2 alone was not significantly different from IPS Empress 2 combined with veneer porcelain with any core to veneer ratio as well as the BFS among the group combined with veneer porcelain ($p>0.05$).

Conclusion The core and veneer thickness ratio affects the BFS of In-Ceram but not for that of IPS Empress 2.

(CU Dent J. 2007;30:141–56)

Keyword : all ceramic; biaxial flexural strength; core; In-Ceram; IPS Empress 2; veneer porcelain
